
دراسات نسيجية كيميائية وفسيولوجية على كبد الجرذان

أثناء الحياة الجنينية وبعد الولادة

عبد السلام موسى بوالحاج⁽¹⁾

سعد محمد سعد الغرباوي⁽²⁾

DOI: <https://doi.org/10.54172/mjsc.v18i1.745>

الملخص

تم في هذا البحث دراسة تطور ثروغ كبد الجرذان البيضاء أثناء الحياة الجنينية وبعد الولادة . واستخدم عدد 39 جنين جرد بدءاً من عمر 9 أيام حتى 21 يوم قبل الولادة ، وعدد 39 جرد تراوحت أعمارها بين عمر يوم واحد حتى 4 أشهر بعد الولادة .

بينت نتائج التفاعلات النسيجية الكيميائية ؛ تفاعل الخلايا الكبدية بالإيجاب مع صبغة حمض شيف البريويدي بدءاً من العمر 20 يوم في الأجنحة . وازدادت شدة هذا التفاعل بتقدم العمر الجنيني وبعد الولادة أيضاً؛ بينما كان تفاعل هذه الخلايا سليماً مع كل من صبغة الألسنان الأزرق والألداهيدينوكسين أثناء الحياة الجنينية وبعد الولادة . بدأت حبيبات الجليكورجين في الظهور في الخلايا الكبدية في اليوم الأخير من الحياة داخل رحمية . ووجد أن هذه الحبيبات تتناقص في الكمية والكتافة في الأجزاء الداخلية للكبد كلما ابتعدنا عن الحفظة . وبعد الولادة ازدادت حبيبات الجليكورجين سعماً وانتشاراً في كل من أطراف الكبد وأجزاءه المركبة . كما بيّنت الدراسة أنه لا يوجد تغيير في تركيز الألبومين في الأعmars المدروسة .

⁽¹⁾ قسم علم الحيوان ، كلية الزراعة ، جامعة عمر المختار ، البيضاء – ليبيا ، ص.ب. 919 .

⁽²⁾ كلية الطب البيطري ، جامعة عمر المختار ، البيضاء – ليبيا ، ص.ب. 919 .

المقدمة

لدراسة النمو النسيجي للأعضاء قبل وبعد الولادة . وحيث أن الكبد أحد الأعضاء الهامة التي تتطلب مزيداً من الدراسة والبحث فيما يتعلق بتطور نموه النسيجي الكيميائي Developmental histochemistry وعلاقة ذلك ببعض وظائفه Physiological activities، لذا صممت هذه الدراسة لإضافة المزيد من المعلومات في هذا الخصوص وخاصة أن المراجع المتاحة والدراسات السابقة تعتبر قليلة وغير كافية .

يعتبر الكبد من أهم أعضاء الجسم وأكبر الغدد على الإطلاق ، لذا فقد حظي بالكثير من الدراسة والاهتمام منذ وقت بعيد، وقد شملت الدراسة جوانب بحثية عديدة . أقدم الدراسات التي أجريت على كبد الجرذان تناولت التغير الشكلي للكبد في عدد محدود من الأجنحة ومراحل عمرية قليلة (Elias, 1955) . غير أن الدراسات الأخرى تناولت دور الكبد في تخليق عناصر الدم وتصنيع بروتينات البلازمما في أجنة الثدييات بصفة عامة ، يشمل ذلك أجنة الجرذان (Godlewski *et. al.*, 1997) وأجنة الأرانب (Hertzberg and Orlic, 1981 and Abdalla, 1997) وأجنة الحمام (Osman *et. al.*, 1985) وأجنة الجمال (Abou-Easa, 1987) وحتى الإنسان (Severn, 1972) .

وتعتبر الجرذان من أفضل الحيوانات لدراسة نمو أجنة الثدييات وتطور أعضائها وذلك لعدة اعتبارات؛ فهي تتمتع بمعدل عال للإنصباب مع ثبات وراثي Genetic Stability وتنجب عدد كبير في كل حمل ومرة الحمل بها قصيرة . كما أن التشابه في التراكيب النسيجية لكل من الإنسان والجرذان أثناء التطور الجنيني، خصوصاً في المراحل الأولى للنمو (Godlewski *et. al.*, 1997) جعل من الممكن استخدام الجرذان كنموذج تجريبي

Aims of work

- 1- إلقاء مزيد من الضوء على التفاعلات النسيجية الكيميائية لخلايا الكبد وتحديد بدء نشاطها الوظيفي ، ومعرفة الوقت الذي تصل فيه إلى كامل نموها ونضجها التركيبي والوظيفي .
- 2- محاولة معرفة إذا كان هناك تغير في تركيز الألبومين Albumin مع تقدم العمر .

الهدف من البحث**1- حيوانات التجارب****Experimental animals**

استخدمت في هذه الدراسة الجرذان البيضاء White Albino Rats التي تم إحضارها من جمهورية مصر العربية ولم يسبق لها التعرض ولم تعامل بأي مادة كيميائية من قبل . ووضعت في

تم وضع كل أنثى في مرحلة الشبق مع ذكر بالغ طوال الليل . تم عمل مسحات مهبلية في صباح اليوم التالي ، فإذا وجد بها حيوانات منوية Sperms يعتبر هذا اليوم صفرًا بالنسبة لعمر الأجنحة . (Manson *et. al.*, 1982) ، (Hodgson and Levi, 1997) وأخرون ، 1998) و (عبد السميع ، 2004) بعد تحديد عمر الجنين وضعن الأنثى بعد قتلها على ورقة ترشيح وفتح التجويف البطني بمحاذة الصدر ثم فتح الرحم وزنعت الأجنحة بقطع الحبل السري لكل جنين . وتم الحصول على 39 جنين بدءاً من 9 أيام حتى 21 يوم قبل الولادة، وتم تسجيل عمر الأجنحة وعدها . وتركت بعض الأمهات إلى أن تمت الولادة ثم تركت الجرذان المولودة لتنمو وأخذت منها عينات الكبد في أعمار مختلفة . وأستخدم عدد 39 جرذ يتراوح أعمارها بين عمر يوم واحد حتى عمر 4 شهور بعد الولادة .

3- الفحص النسيجي الكيميائي

Histochemical Investigation

تم صبغ العينات ببعض الصبغات السميوجية الكيميائية للكشف عن المواد الكربوهيدراتية في خلايا وأنسجة الكبد وتحديد مواقعها وكمياتها ودراسة العلاقات فيما بينها من

أقفاص بلاستيكية ذات أبعاد (25 × 30 × 50 سم) (North Kent Plastic Cages Ltd, U.K.) وقد تم إحضار عدد 7 إناث و 3 ذكور . ونقلت إلى المعمل الخاص بتربية الحيوانات بقسم علم الحيوان / كلية العلوم / جامعة عمر المختار، حيث تراوحت درجة الحرارة بين 21-25°C و تم تغذيتها بعليقه خاصة تم تصنيعها في مصنع الأعلاف وفق مواصفات قياسية من قبل الشركة الوطنية للأعلاف وتم توفير الغذاء والماء لها بصورة حرفة، وتركت لمدة 4 شهور قبل بدء الدراسة لغرض التأقلم مع الظروف البيئية الجديدة ولকي يتم زيادة أعدادها وتکاثرها .

2- إعداد الحيوانات وتحديد أعمارها

Preparation of Animals and determination of ages

استخدمت في هذه الدراسة 40 أنثى ناضجة من إناث الجرذان البيضاء و 10 من الذكور وكان وزنها في بداية الدراسة يتراوح بين 190-210 جم ، وذلك لغرض الحصول على جرذان محددة الأعمار بدقة من خلال الخطوات الآتية : تم عزل الذكور عن الإناث لفترة طويلة .

تم فحص الإناث وذلك بعمل مسحات مهبلية بشكل يومي لفحص دورة الشبق . (Cohen, 1966) Estrous cycle

تم تصوير الشرائح النسيجية المصبوغة بواسطة المهر الضوئي المصنع من قبل شركة Olympus والمزود بآلية تصور نوع Olympus (CAMEDIA C-7070).

4- الترحيل الكهربائي على هلام متعدد الأكريل آمайд لبروتينات الدم

Polyacrylamide gel electrophoresis of blood proteins

تم أخذ عينات دم للأعمار 18 و 21 يوم قبل الولادة و 14 و 21 يوم بعد الولادة و تم إجراء طرد مركري بسرعة 10 آلاف دورة / ثانية . ثم بعد ذلك تم إجراء عملية الترحيل الكهربائي للمصل (Serum) على هلام متعدد الأكريل آمайд بوجود الـ SDS ، و تم تحضير الحاليل التالية :

محلول 1 - محلول أكرييل آمайд / بس Acrylamid / bis : ويكون من إذابة 29.2 جرام الأكرييل آمайд (Acrylamide) و 0.8 جرام بس أكرييل آمайд (Bis acrylamid) في 70 مل من الماء المقطر . بعد الإذابة بشكل كامل يكمل الحجم إلى 100 مل بالماء المقطر ثم يمرر محلول خالل المرشح (0.45 ميكرومتر) والحفظ في قبينة داكنة عند درجة 4°C لمدة لا تتجاوز 30 يوم .

محلول 2 - هلام الفصل gel : Resolving ويتكون من 12 مل من محلول بس أكرييل

ناحية وبينها وبين طبيعة النشاط الوظيفي من ناحية أخرى .

استعملت الصبغات النسيجية الكيميائية التالية :

1- صبغة حمض شيف البيرأيدودي Schiff (PAS) للكشف عن المواد المخاطية المتعادلة حيث تأخذ اللون الأحمر القرمزي .

2- صبغة الألسيان الأزرق Alcian blue (AB pH 2.5) وذلك للكشف عن المواد المخاطية الخامضية حيث تأخذ اللون الأزرق .

3- صبغة الألسيان الأزرق - حمض شيف البيرأيدودي Alcian blue / Periodic acid Schiff (AB pH 2.5/ PAS) وذلك لتمييز المواد المخاطية المتعادلة والخامضية .

4- صبغة بست كارمين Best's carmine وذلك للكشف عن الجليكورجين Glycogen حيث يأخذ اللون الأحمر .

5- صبغة الدهايد فوكسين Aldehyde fuchsin حيث تأخذ المواد المخاطية عديدة السكريات الكبريتية اللون البنفسجي .

وقد تم حفظ وتقطير العينات وصبغها بالصبغات النسيجية الكيميائية المشار إليها استناداً إلى (Bancroft and Gamble, 2002)

محلول - 6 محلول TE : ويكون من 50 مللي مولر Tris-HCl ، 20 ملي مولر من الـ Na2-EDTA (pH 8) عقـم بجهـاز التعـيم .

محلول - 7 محلول المثبت : Fixing solution ويكون من 40% كحول مثيلي ، 10% حامض الخليلك ثلاثي الكلور .

محلول - 8 محلول التصبـيع : Staining solution 0.25 مليجرام صبغـة كومـازـي الرـرقـاء المـذـابـةـ فيـ 40% كـحـولـ مـثـيلـيـ ، 10% حـامـضـ خـالـيلـكـ . بـعـدـ ذـوـبـانـ الصـبـغـةـ رـشـحـ ثـمـ يـحـفـظـ بـدـرـجـةـ حرـارـةـ الغـرـفـةـ .

محلول - 9 محلول إزالة الصبغـةـ Destaining solution ويكون من 40% كـحـولـ مـثـيلـيـ و 10% حـامـضـ خـالـيلـكـ .

ولقد استخدمـتـ الطـرـيقـةـ المـعـدـلـةـ عن Laemmli, (1970) حيث تم ما يلي:

أ. تحضير الهلام

حضر هلام بسمك 1.5 ملم وارتفاع 20 سم وعرض 20 سم ثم غطي الهلام بالماء المقطر لطرد الفقاعات الهوائية وترك لمدة 45-60 دقيقة لإكمال عملية البلمرة والتصلب . وضع المشط بين صفيحيـتـيـ الهـلامـ بـعـدـ سـحبـ طـبـقـةـ المـاءـ ثـمـ حـضـرـ هـلامـ التـراـصـ وـصـبـ مـباـشـرـةـ عـلـىـ سـطـحـ هـلامـ الفـصـلـ . ترك الهلام لمدة 30-45 دقيقة حتى يتصلب في درجة حرارة الغرفة ووضعـتـ صـفـيـحـتـاـ الجـهـازـ الحـاوـيـتـانـ عـلـىـ هـلامـ فـيـ المـكـانـ المـخـصـصـ لهاـ مـنـ

آمـاـيدـ (Bis acrylamid) و 15 مـلـ منـ 0.75 مـولـرـ Tris-HCl (pH 8.8) و 0.3 مـلـ منـ 10% SDS و 2.46 مـلـ منـ المـاءـ المـقـطـرـ و 0.015 مـلـ منـ TEMED .

يـعـرـضـ الـخـلـيـطـ لـظـرـوفـ تـفـريـغـ هـوـائـيـ مـدـةـ 15 دـقـيـقـةـ ثـمـ يـضـافـ 0.25 مـلـ منـ 12% APS المـحـضـرـ آـنـيـاـ .

محلول - 3 هلام التراص gel Stacking : ويـكـونـ منـ 1.5 مـلـ منـ مـحـلـولـ Bisacrylamid و 1.2 مـلـ مـوـلـرـ 0.1 مـلـ منـ 10% Tris-HCl (pH 6.8) و 7.3 مـلـ منـ المـاءـ المـقـطـرـ 0.015 SDS و مـلـ الـ TEMEDـ عـرـضـ الـخـلـيـطـ لـظـرـوفـ تـفـريـغـ هـوـائـيـ مـدـةـ 15 دـقـيـقـةـ ثـمـ يـضـافـ 0.08 مـلـ منـ 12% APS المـحـضـرـ آـنـيـاـ .

محلول - 4 محلول الترحيل Electrode buffer يتـكـونـ مـنـ 0.025 مـوـلـرـ Tris-HCl ، 0.192 مـوـلـرـ جـلـاـيـسـينـ (Glycin) ، (pH 8.3) ، SDS %0.1 .

محلول - 5 محلول التكسير Cracking buffer يتـكـونـ مـنـ 60 مـلـيـ مـوـلـرـ SDS %1 (pH 6.8) Tris-HCl %10 ، 2-mercaptoethanol %1 الجـلـيـسـينـ (Glycerin) ، %0.01 صـبـغـةـ الـبـرـومـوـفـينـولـ الزـرـقـاءـ (Bromophenol blue) .

الكهربائية وأجريت عملية الترحيل الكهربائية بفرق جهد 200 فولت وبطار قدره 0.5 أمبير (حتى اقتراب حزمة صبغة البروموفينول الزرقاء من نهاية الملام). بعد الانتهاء من عملية الترحيل رفع الملام وغمر في محلول التثبيت لمدة ساعة واحدة وغمر بعدها في محلول التصبيح لمدة ساعة واحدة أيضاً. وضع الملام في محلول إزالة الصبغة حيث يستمر العسل بهذا محلول لعدة تبديلات حتى إزالة الصبغة من أرضية الملام بشكل كامل وظهور المزم البروتينية بصورة واضحة.

هـ. حساب الوزن الجزيئي

تم حساب الوزن الجزيئي للبروتينات من خلال رسم العلاقة بين لوغاريتم الوزن الجزيئي للبروتينات القياسية والحركة النسبية (Relative mobility) R_m التالية :

$$\text{الحركة النسبية} = (R_m) = \frac{\text{المسافة التي يقطعها البروتين}}{\text{المسافة التي يقطعها صبغة البروموفينول الزرقاء}}$$

النتائج والمناقشة

أظهر استخدام صبغة حمض شيف البيرأيد (PAS) تفاعلاً موجباً مع الخلايا العملاقة ضخمة السواد على عكس تفاعಲها السلبي مع الخلايا الكبدية المتتابعة (شكل 1) والتي أظهرت أيضاً تفاعلاً سلبياً مع

الجهاز ولئے مستودع خلية الترحيل محلول الترحيل.

بـ. تحضير نموذج البروتينات القياسية

تم استخدام البروتينات القياسية المصنعة من قبل شركة Sigma Marker™ Low. تم تحضير نموذج البروتينات القياسية المصنعة على أساس Sigma Marker™ Low، والذي يحتوي على البروتينات القياسية التالية: (29 كيلو دالتون)، (36 كيلو دالتون)، (45 كيلو دالتون)، (36 كيلو دالتون)، (24 كيلو دالتون)، (20 كيلو دالتون)، (14.2 كيلو دالتون)، (6.5 كيلو دالتون) في 1 ملليلتر من الماء.

جـ. تحضير العينات

علق 300 ميكروليتر من كل عينة بروتينية في 90 ميكروليتر من محلول TE ثم أضيف له 210 ميكروليتر من محلول التكثير في أنبوبة أبندروف المعقمة ثم حضن الخليط في حمام مائي مغلي لمدة 3-5 دقائق.

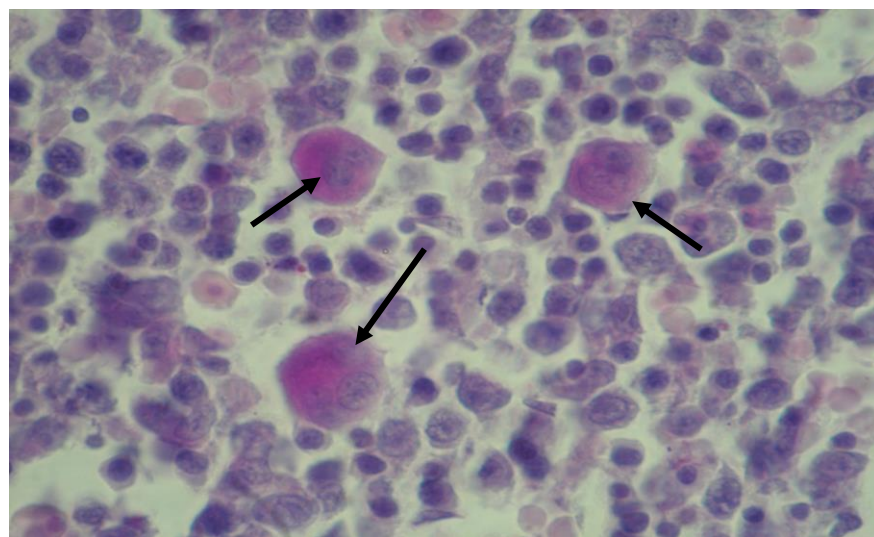
دـ. الترحيل الكهربائي

تم إضافة العينات المحضررة (25 ميكروليتر لكل نموذج) وفي الشق المخصص له بواسطة حقنة نوع Hamilton ثم ربطت الدائرة

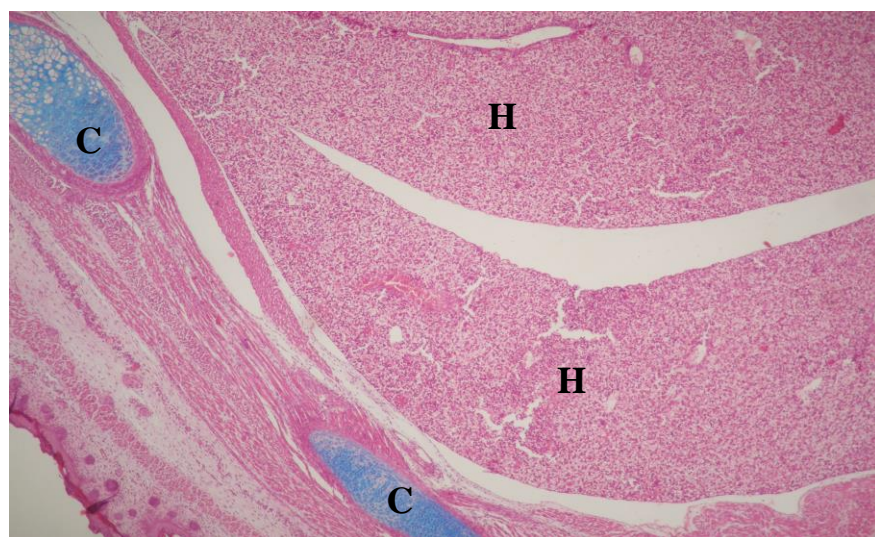
والكثافة وعمق الصبغة كلما اتجهنا إلى داخل المتن الكبدي وابعدنا عن الأطراف والحفظة الكبدية (شكل 5) .

وبعد الولادة أظهرت بعض الخلايا الكبدية اصطباغاً موجباً قوياً مع صبغة حمض شيف البيرويودي بينما ظهر بعضها الآخر أقل قابلية للاصطباغ (شكل 6) . ازدادت أيضاً حبيبات الجليكوجين داخل سيتو بلازم الخلايا الكبدية في الحجم وقابليتها للصبغة . ولم تقتصر هذه الزيادة على المناطق الطرفية للكبد؛ تحت الحفظة ، ولكنها استمرت لتشمل مراكز الفصوص الكبدية أيضاً (شكل 7) .

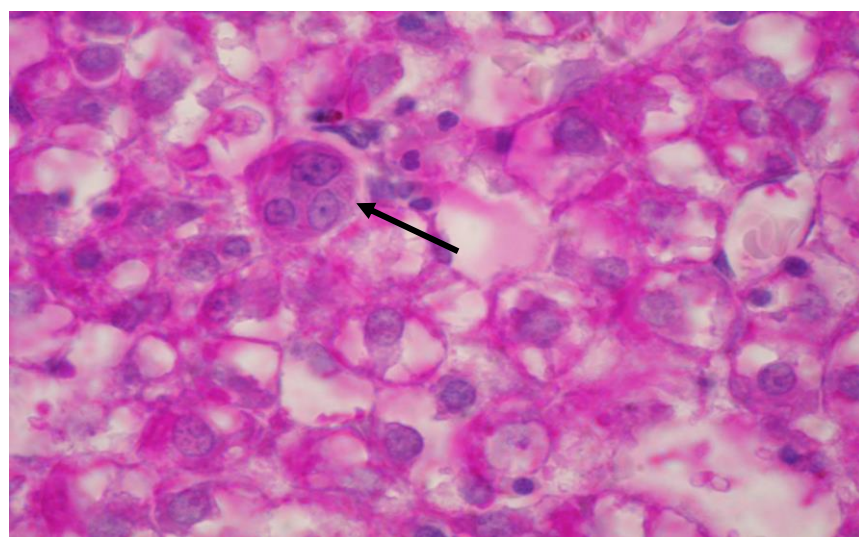
صبغة الألسيان الأزرق (AB) Alcian blue في أجنة الجرذان عمر 20 يوم (شكل 2) . واستمرت الخلايا العملاقة ضخمة النواة في ازديادها المستمر في الحجم بين الخلايا المكونة لعناصر الدم . وظهر بعض هذه الخلايا أنوية عديدة Multinucleated cells . وأظهرت هذه الخلايا اصطباغاً موجباً قوياً مع صبغة حمض شيف البيرويودي PAS . كما بدأت الخلايا الكبدية في إظهار التفاعل الموجب مع نفس الصبغة (شكل 3) . وفي اليوم الأخير من الحياة داخل الرحم (21 يوم) بدأت حبيبات الجليكوجين في الظهور في الخلايا الكبدية المتواجدة في أطراف الكبد؛ تحت الحفظة الكبدية (شكل 4) . وتناقصت هذه الحبيبات في الكمية



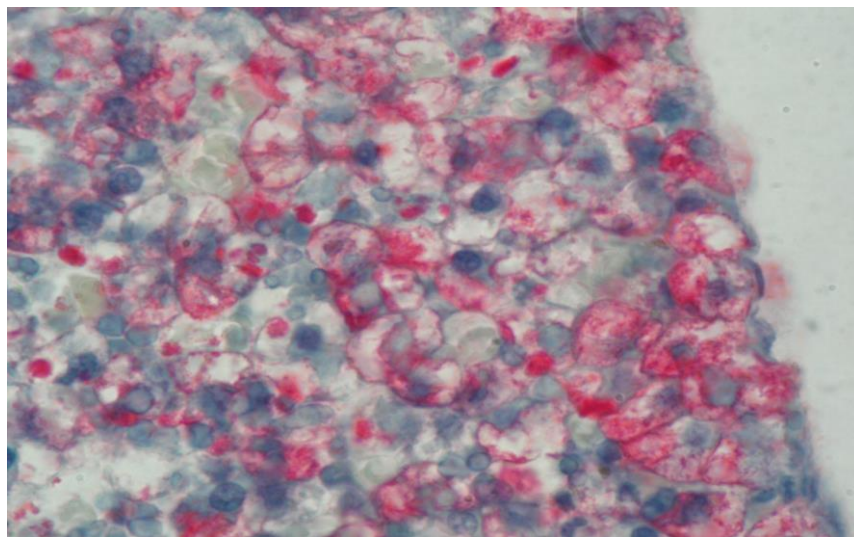
شكل 1 قطاع في كبد جنين حرب عمره 17 يوم يظهر التفاعل الإيجابي للخلايا العملاقة ضخمة النواة (Arrows) مع صبغة حمض شيف البيرويودي على العكس من تفاعليها السلبي مع الخلايا الكبدية ، صبغة (PAS) 1000 X



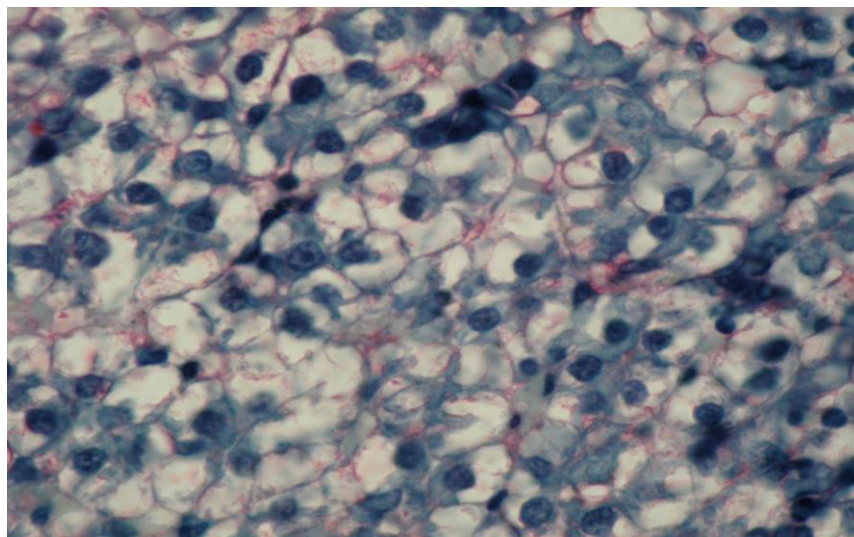
شكل 2 قطاع في جنين حزد عمره 20 يوم يوضح التفاعل الموجب لصبغة الألسيان الأزرق مع الغضاريف المكونة لميكل الجنين (C) وتفاعلها السلي مع الخلايا الكبدية (H)، صبغة (Alcian blue) 40 X



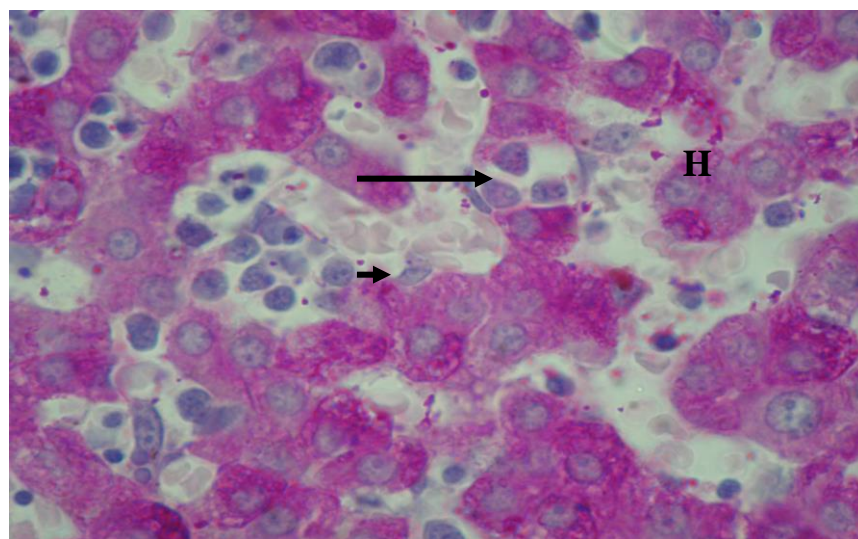
شكل 3 قطاع في كبد جنين حزد عمره 20 يوم بين الخلايا العملاقة ضخمة النواة (Arrow). لاحظ التفاعل الموجب للخلايا الكبدية مع صبغة حمض شيف البرأبودي ، صبغة (PAS) 1000 X



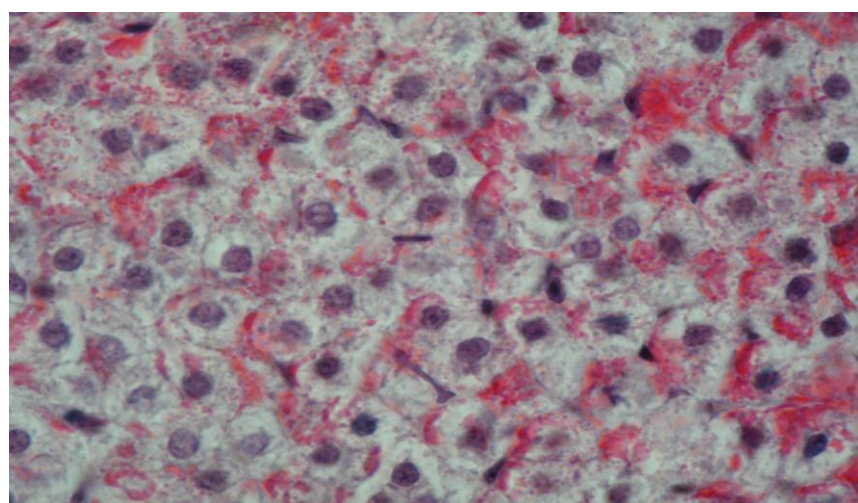
شكل 4 قطاع في كيد حنين جرذ عمره 21 يوم يبين ظهور حبيبات الجليكوجين في الخلايا الكبدية الواقعة في أطراف الكبد تحت المحفظة الكبدية . صبغة (Beste's carmine) 1000 X



شكل 5 قطاع في كيد حنين جرذ عمره 21 يوم يوضح تناقص حبيبات الجليكوجين في الكمية والكثافة ودكانة الصبغة في الخلايا الكبدية المتواجدة في وسط الكبد بعيداً عن المحفظة . صبغة (Beste's carmine) 1000 X



شكل 6 قطاع في كيد حزد عمره أربعة أيام يظهر الخبال الكبدية الغير منتظمة والتي تحيط بأشياء جيوب دموية متفرعة ومتشاركة وتبطن بخلايا بطانية (Arrow) وخلايا كوفر (Arrow head). لاحظ الخلايا الكبدية ذات النواتين (H). صبغة 1000 X (PAS)



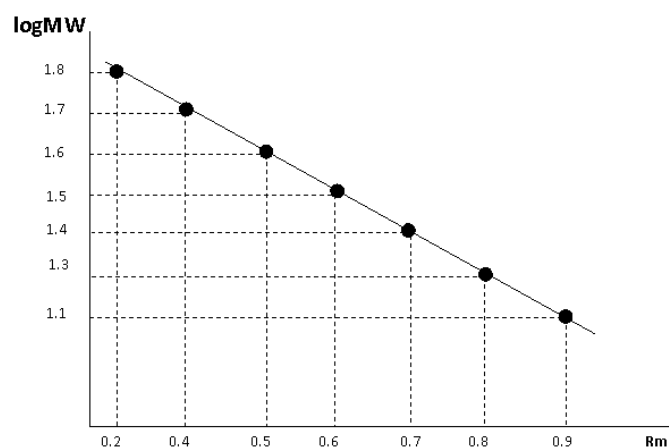
شكل 7 قطاع في كيد حزد عمره 21 يوم يوضح ازدياد حبيبات الجليكوجين داخل الخلايا الكبدية . صبغة 1000 X (Beste's carmine)

الترحيل الكهربائي لبروتينات الدم

Electrophoresis of blood proteins

ولتقدير الوزن الجزيئي لبروتينات الدم تم

استخراج Rm وإسقاطها على المنحنى القياسي

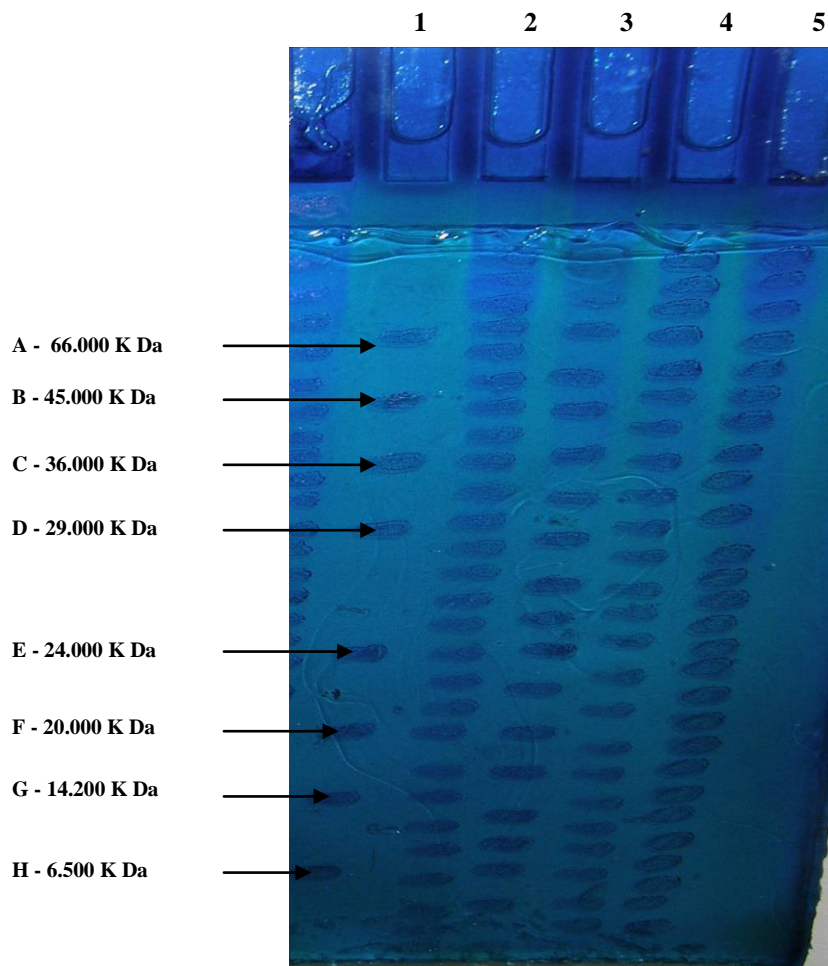


شكل 8 منحنى يوضح العلاقة بين لوغاريثم الوزن الجزيئي والحركة النسبية لجزم البروتين القياسي

أيضاً ، في حين أن تفاعل هذه الخلايا كان سلبياً مع كل من صبغة الألسيان الأزرق AB والألداهايد فوكسين AF . ويثبت ذلك احتواء الخلايا الكبدية على المواد المخاطية عديدة السكريات المتعادلة Neutral mucopolysaccharides وعدم احتوايتها على المواد المخاطية عديدة السكريات الحامضية Acid mucopolysaccharides Sulphated على التوالي . قد أظهرت الخلايا الكبدية تفاعلاً موجباً مع صبغة حمض شيف Sulphated

وتشير هذه الدراسة إلى أن الألبومين موجود في دم الجرذان في جميع الأعمار التي تمت دراستها سواء قبل الولادة أو بعد الولادة وتشير دراستنا هذه أيضاً إلى أن تركيز الألبومين لم يتغير حتى مع الزيادة في العمر (شكل 9) .

بينت نتائج التفاعلات النسيجية الكيميائية في هذه الدراسة تفاعل الخلايا الكبدية بالإيجاب مع صبغة حمض شيف البرأيوودي PAS بدءاً من عمر 20 يوم قبل الولادة . وازدادت شدة هذا التفاعل بتقدم العمر الجنيني وبعد الولادة



شكل 9 يوضح الترحييل الكهربائي لبروتينات الدم
A- Albumin, bovine serum. B- Ovalbumin,
C- Glyceraldehyde-3-phosphate Dehydrogenase, rabbit muscle chicken egg
E- Trypsinogen, bovine pancreas D- Carbonic Anhydrase, bovine erythrocytes
H- Aprotinin, F- Trypsin inhibitor, soybean G- α - Lactalbumin, bovine milk
1 : مجموعة السيطرة 2- عينة من جنين ح逮 عمره 18 يوم . 3- عينة من جنين ح逮
عمره 21 يوم 4- عينة من ح逮 عمره 14 يوم . 5- عينة من ح逮 عمره 21 يوم . * بروتين الألبومين .

البيرأيودي PAS في كبد أحنة الثور أيضاً (Abou-Easa, 1987) وكذلك كبد الأرانب بعد الولادة (El-Keshawy *et. al.*, 1985) وفي أحنة الجمل (Osman *et. al.*, 1984)

الكبديّة منذ الولادة وأن محتوى الخلايا الكبديّة من هذه الحبيبات يزداد بازدياد عمر الجرذان .

أما توزيع الجليكوجين كما بيته هذه الدراسة فإنه يتفق مع نتائج El-Keshawy *et. al.* (1985) الذين نصوا على أن توزيع الجليكوجين في كبد الأرانب يزداد حول المناطق البابية وفي أطراف الكبد ويقل في مركز الفصيّصات الكبديّة . ولكنها لا تتفق مع نتائج Abou-Easa (1987) الذي استنتج أن الخلايا الكبديّة المركبة في كبد جنين الحمل تكون أكثر نشاطاً في تكوين الجليكوجين عن تلك الموجودة على الأطراف . ولا تتفق أيضاً مع نتائج Fouad *et. al.* (1984) الذين لاحظوا أن حبيبات الجليكوجين تتوزع بالتساوي في الفصيّصات الكبديّة .

الترحيل الكهربائي لبروتينات الدم

Electrophoresis of blood proteins

لقد بيّنت هذه الدراسة أن الألبومين موجود في دم الجرذان في كافة الأعمار المدروسة وأن تركيز الألبومين لم يتغير مع الزيادة في العمر وهذه النتائج اتفقت مع ما ذكره (Yeoh and Morgan, 1974) .

بدأت حبيبات الجليكوجين في الظهور في الخلايا الكبديّة في اليوم الأخير من الحياة الجنينية . ووُجد أن هذه الحبيبات تتناقص في الكمية والكتافة ودكّانة الصبغة في الأجزاء الداخلية للكبد كلما ابتعدنا عن المحفظة . وبعد الولادة ازدادت حبيبات الجليكوجين في المحمّم وقابلتها للصبغة مع تقدّم عمر الجرذان في كل من أطراف الكبد وأجزائه المركزية . وتوّيد هذه النتائج ما توصل إليه (Abou-Easa 1987) في أن الخلايا الكبديّة لم تظهر تفاعلاً إيجابياً مع صبغة بست كارمين Best's carmine إلا في المراحل المتأخرة من الحياة الجنينية . حيث أنه لم تشاهد حبيبات الجليكوجين في كبد جنين الحمل حتى طول 68 سم . ولكنها تناقص مانص عليه Deane (1944) في أن قدرة الخلايا الكبديّة على حزن الجليكوجين تبدأ مبكراً في كبد جنين الفأر . وتتناقص أيضاً ما لاحظه (Abdalla 1997) من أن حبيبات الجليكوجين تظهر في خلايا الكبد لجنين الأرنب عند مرحلة جنينية مبكرة . وبيّن نتائجنا أيضاً ما ذكره (Anwar *et. al.* 1989) أن حبيبات الجليكوجين توجد داخل سيتوبلازم الخلايا

Histochemical and physiological studies on the Rat's liver during embryonic life and after birth

Abdusalam M. Aboalhaj⁽¹⁾

Ebtessam M. M. Gheth⁽¹⁾

Saad M. S. El-Gharbawy⁽²⁾

Ibrahim S.H. El-Durssi⁽²⁾

Abstract

In this study, the development of the rat's liver was investigated during the embryonic life using 39 fetuses ranged from 9-21 days of age, and 39 rats with ages from one day after birth to four months.

The result of the histochemical investigation showing positive Periodic acid schiff (PAS) reaction of hepatic cells from the 20th day of fetal life. These reactions increased with the advancement of age and continued after birth. On the other hand, these hepatic cells showed negative reaction with alcian blue and aldehyd fuchsin stains.

Glycogen granules began to appear in the hepatic cells in the last day of intrauterine life. These granules decreased in intensity and quantity in the inner parts of liver as we go far from the capsule. After birth, these granules increased in amount and staining affinity where it distributed alloover the liver; in the peripheral and central parts.

There was no difference in the concentration of albumin in all the studied ages.

⁽¹⁾ Zoology Department / Faculty of Science /Omar El-Mukhtar University.

⁽²⁾ Faculty of Veterinary Medicine/ Omar El-Mukhtar University.

المراجع

- Deane, H. W. (1944). A cytological study of storage and secretion in the developing liver of the mouse. *Anat. Rec.*, 88: 161-174.
- Elias, H. (1955). Origin and early development of the liver in various vertebrates. *Acta. Hepatol.* 3: 1-56.
- El-Keshawy, A. H., Awad, A., Abbass, A. and Moustafa, I. A. (1985). Postnatal changes of the liver of female balady rabbits in relation of pregnancy and lactation. *Zagazig Vet.. J.*, 12 (2): 360-390.
- Fouad, S. M., El-Keshawy, A. H. and Selim, A. (1984). Histological and Histochemical studies of the prenatal development of the liver of One-humped Camel (*Camellus dromedarius*). *Vet.. Med. J.* 32 (1): 313-326.
- Godlewski, G., Gaubert-Gristol, R., Rowy, S. Prudhomme, M. (1997). Liver development in the rats during the embryonic period (Carnegie Stage 15-23). *Acta Anat.* 160:172-178.
- Hertzberg, C. and Orlic, D. (1981). An electron microscopic study of erythropoiesis in fetal and neonatal rabbit. *Acta Anat.* 110: 164-172.
- Hodgson, E and Levi, P. E. (1997). Textbook of modern toxicology. 2nd. Ed. *Appleton of Lange*.
- Laemmli, U.K(1970). cleavage of structural proteins during ano, R., Teggi, A., De Rosa, F. & Vicari, G.(1991). Detection of antibodies against *Echinococcus granulosus* major antigens and their subunits by immunoblotting. Transactions of the Royal society of Tropical
- أحمد راشد الحميدي ، عثمان عبدالله الدوخي و محمد حامد الغدور . (1998) .
الأساسيات في عملي أجنحة الفقاريات (الوصفي و التجريبي) . الطبعة الأولى .
منشورات جامعة الملك سعود . الرياض .
زينب مختار عبد السميع . (2004) . دراسة تأثير الميد الحشرى " كلوريرفوس " في إحداث التشوهات الخلقية في الجرذان البيضاء .
أطروحة ماجستير . كلية العلوم . جامعة عمر المختار . الجماهيرية .
- Abdalla, K. E. H. (1997). Prenatal development of the liver in the rabbit. *Assiut Vet.. Med. J.* 36 (72): 1-21.
- Abou-Easa, K. F. K. (1987). Histological and histochemical studies on the liver of developing dromedary Camel (*Camelus dromedarius*) M. V. Sc. Thesis, Zagazig Univ. (Benha branch).
- Anwar, M. E., Hamid, S. H., El-Sayed, E. H. and Zohdy, A. S. E. (1989). A histological study of the postnatal development of the liver of albino rat. *Egypt. J. Histol.* 12(1): 3-11.
- Bancroft, J. D. and Gamble, M. (2002). Theory and practice of histological techniques. Fifth ed. *Churchill Livingston*. Edinburgh, London and New York.
- Cohen, R. L. (1966). Experimental chemoteratogenesis. *Adv. Pharmacol.* 4: 263-269.

- I. A. (1985). Hemopoiesis in the fetal liver of the Egyptian water Buffalo (*Bos bubalis L.*) Z. *Mikrosk. Anat. Forsch.* 99 (2): 219-224.
- Severn, C. B. (1972). A morphological study of the development of the human liver. II_ Establishment of liver parenchyma, extra hepatic ducts and associated venous channels. *Amer. J. Anat.*, 133: 85-108.
- Yeoh, G. C. T. and Morgan, E. H. (1974). Albumin and Transferrin synthesis during development in the rat. *Biochem. J.* 144: 215-224.
- Medicine and Hygiene, 85, 239-243.
- Manson, J. M. Zenick, H. and Costlow, R. D. (1982). Teratology: Test method for laboratory animals. In: principle and method of Toxicology. *Student Ed. Edited by Hayes, A. W. Raven press, New York. Pp. 165-182.*
- Osman, A. H. K., Dougbag, A. S. and Kassem, A. (1984). Organogenesis of the fetal liver of the Egyptian water buffalo (*Bos bubalis L.*). *Egypt. Anat. Soc. 7th. Conference.*
- Osman, A. H. K., Kassem, A. M. Dougbag, A. S. A. and Moustafa,